

УДК 569.323:551.793(597)

НОВЫЙ ВИД *TYPHLOMYS* (PLATACANTHOMYIDAE, RODENTIA) ИЗ СРЕДНЕГО ПЛЕЙСТОЦЕНА СЕВЕРНОГО ВЬЕТНАМА

© 2021 г. Академик РАН А. В. Лопатин*

Поступило 25.06.2021 г.
После доработки 16.07.2021 г.
Принято к публикации 16.07.2021 г.

Из среднеплейстоценового пещерного местонахождения Там-Хай в северном Вьетнаме (провинция Лангшон) по фрагменту верхнечелюстной кости и изолированным зубам описан новый вид роющих сонь *Typhlomys stegodontis* sp. nov. Эта первая находка ископаемых Platacanthomyidae во Вьетнаме заполняет среднеплейстоценовый пробел в палеонтологической летописи семейства.

Ключевые слова: *Typhlomys*, роющие сони, Platacanthomyidae, Myomorpha, Rodentia, средний плейстоцен, Вьетнам, Лангшон

DOI: 10.31857/S2686738921060093

В настоящее время на севере Вьетнама обитает весьма редкая роющая соня *Typhlomys chapensis* Osgood, 1932, представитель небольшого семейства колючих сонь (Platacanthomyidae) [1]. Этот мелкий мышеобразный грызун, живущий в тропических горных лесах, парадоксальным образом приспособлен к древолазанию и к рытью; при этом он почти слеп и ориентируется при передвижении с помощью ультразвуковой эхолокации, подобно рукокрылым [2]. Современный ареал вида ограничивается высокогорным районом Шапа в провинции Лаокай на севере Вьетнама [1, 3, 4] и прилегающей областью Южного Китая (= *T. cinereus jingdongensis* Wu et Wang, 1984; Юньнань, Цзиндун) [5–8]. Палеонтологическая история *Typhlomys* во Вьетнаме не изучена, тогда как в Китае остатки нескольких видов роющих сонь обнаружены в верхнем миоцене [9, 10], плиоплейстоцене [11], нижнем плейстоцене [12–16] и низах верхнего плейстоцена [17].

Ниже описаны ископаемые остатки *Typhlomys* из Вьетнама – фрагмент верхнечелюстной кости и изолированные зубы *T. stegodontis* sp. nov. из среднего плейстоцена пещеры Там-Хай, провинция Лангшон, уезд Биньзя (Binh Gia), собранные экспедиционным отрядом Палеонтологического института им. А.А. Борисяка РАН (ПИН) в марте 2021 г. в ходе работ Совместного Российско-Вьетнамского Тропического научно-исследовательского и технологического центра (Тропический

центр, Ханой). Пещера Там-Хай (Thảm Hai, Tham Hai) входит в пещерный комплекс Там-Кхюиен (Thảm Khuê), известный совместными находками *Homo erectus* (Dubois, 1893) и *Gigantopithecus blacki* von Koenigswald, 1935 и датированный средним плейстоценом (Там-Хай: 300–200 тыс. лет, 250 тыс. лет; Там-Кхюиен: 475 ± 125 тыс. лет) [см. 18–20]. В сборах 2021 г. из пещеры Там-Хай обильно представлены остатки мелких млекопитающих, включая насекомоядных (Erinaceidae, Soricidae), рукокрылых (в том числе Pteropodidae) и грызунов. Среди последних преобладают разнообразные Muridae, сравнительно многочисленны Hystricidae и Sciuridae, а наиболее редки Cricetidae (Arvicolinae) и Platacanthomyidae (*Typhlomys stegodontis* sp. nov.).

Описанный в статье материал хранится в коллекции ПИН, Москва. Терминология строения зубов по [9], с изменениями (см. рис. 1). Фотографии сделаны с помощью сканирующего электронного микроскопа Tescan Vega 3 XMU в ПИН.

Отряд Rodentia Bowdich, 1821

Семейство Platacanthomyidae Alston, 1876

Род *Typhlomys* Milne-Edwards, 1877

Typhlomys stegodontis Lopatin, sp. nov.

Название вида по совместному нахождению с вымершим родом хоботных *Stegodon*.

Голотип – ПИН, № 5826/501, фрагмент правой верхнечелюстной кости с M^1 – M^2 (рис. 2); северный Вьетнам, провинция Лангшон, пещера Там-Хай; средний плейстоцен.

Описание (рис. 2, 3). Задний край основания переднего корня скуловой дуги расположен

Палеонтологический институт им. А.А. Борисяка
Российской академии наук, Москва, Россия
*e-mail: alop@paleo.ru

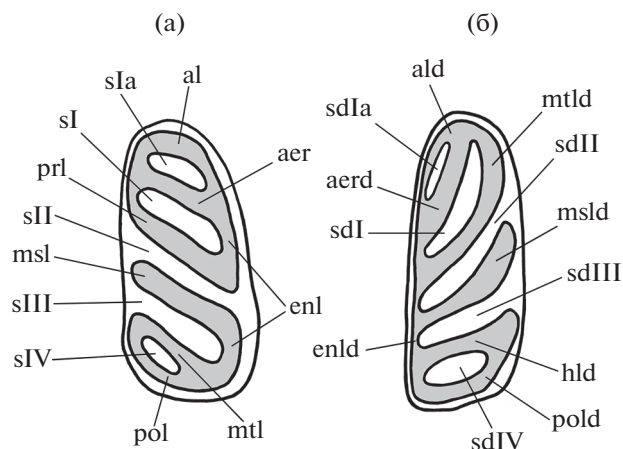


Рис. 1. Терминология элементов строения моляров *Typhlomys* (по [9], с изменениями): а – правый M^1 ; б – правый M^1 . Обозначения: гребни: aer – передний дополнительный гребень (на верхних молярах); aerd – передний дополнительный гребень (на нижних молярах); al – антеролоф; ald – антеролофид; enl – эндолоф; enld – эндолофид; hld – задний дополнительный гребень (гиполофид); msl – мезолоф; msld – мезолофид; mtl – металоф; mtld – металофид; pol – постеролоф; pold – постеролофид; prl – протолоф; складки и долинок: sI – парафоссетта (синклин I); sIa – антерофоссетта (синклин Ia); sII – мезофоссетта (синклин II); sIII – метафоссетта (синклин III); sIV – постерофоссетта (синклин IV); sdI – мезофоссеттид (синклинид I); sdIa – антерофоссеттид (синклинид Ia); sdII – эктофоссеттид (синклинид II); sdIII – гипофоссеттид (синклинид III); sdIV – постерофоссеттид (синклинид IV).

на уровне передней части M^1 . Моляры лофодонтные, с плоской или немного вогнутой жевательной поверхностью, состоящей из шести поперечных и диагональных гребней и пяти складок и долинок (на M_3 – из пяти гребней и четырех долинок). Верхние моляры трехкорневые, нижние – двухкорневые.

Верхние моляры со слабо выраженной лингвальной гипсодонтией. На M^1 – M^2 диагональные средние гребни (mid-ridges; передний дополнительный гребень, протолоф, мезолоф и металоф) и соответствующие долинок (парафоссетта, мезофоссетта и метафоссетта) ориентированы под углом около 45–60° к продольной оси зуба (рис. 2).

M^1 длинный и узкий, заметно сужающийся спереди (рис. 3а). Антеролоф короткий, сильно изогнут вперед. Передний дополнительный гребень (anterior extra ridge) полный, ограничивает сзади короткую и узкую замкнутую антерофоссетту (синклин Ia). Парафоссетта (синклин I) закрыта лабиально и лингвально, на голотипе раздвоенная – имеет антеролингвальное ответвление, достигающее эмалевой стенки зуба. Протолоф и мезолоф широкие, субпараллельные, в лингвальной части сближаются, но не сливаются.



Рис. 2. *Typhlomys stegodontis* sp. nov., голотип ПИН, № 5826/501, фрагмент правой верхнечелюстной кости с M^1 – M^2 с окклюзиальной стороны; Вьетнам, провинция Лангшон, пещера Там-Хай; средний плейстоцен.

Мезофоссетта (синклин II) открыта лабиально и лингвально, оба устья узкие и неглубокие (рис. 3а). При сильном стирании мезофоссетта лингвально замкнута, образован непрерывный эндолоф (рис. 3б). Метафоссетта (синклин III) открыта лабиально, ее лингвальный конец касается эмалевой стенки зуба в постеролингвальном углу жевательной поверхности. Металоф и постеролоф короткие. Постерофоссетта (синклин IV) маленькая, закрытая.

M^2 субпрямоугольных очертаний, сужающийся сзади, по строению в целом близок M^1 . Антеролоф длинный, прямой. Имеется относительно длинная антерофоссетта. На голотипе парафоссетта имеет небольшое переднее ответвление, примыкающее к антерофоссетте с лабиальной стороны. Все долинок закрыты лингвально, эндолоф полный. При слабом стирании мезофоссетта лабиально открытая, другие долинок замкнуты с лабиальной стороны, хотя соответствующие гребни не сращены. Таким образом, на ранней стадии стирания эктолоф не сформирован (рис. 3а), тогда как на более поздней – хорошо развит (рис. 3в).

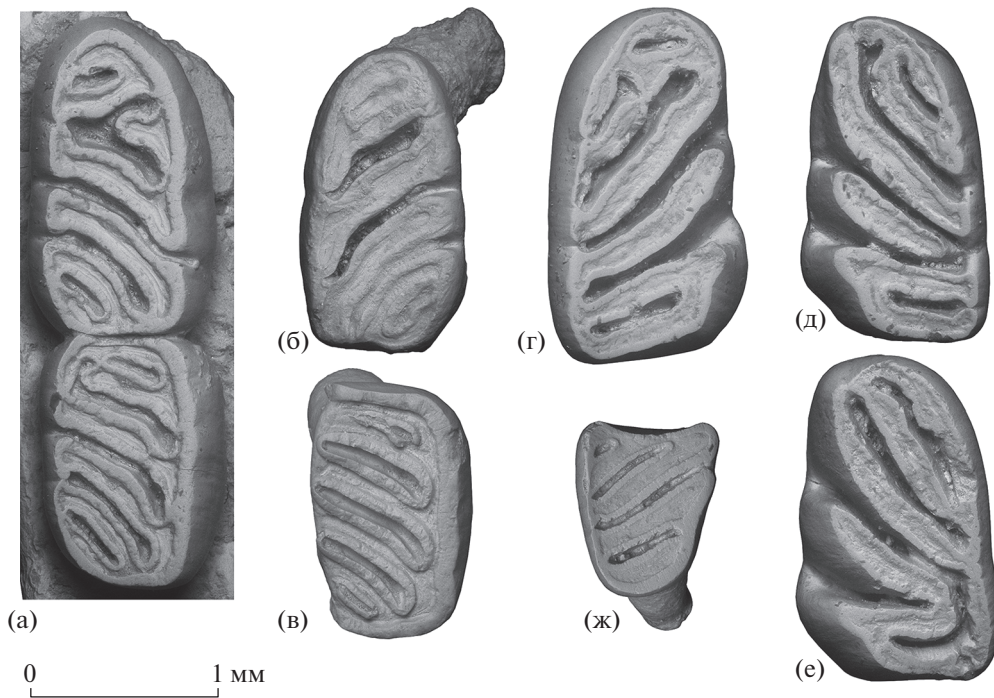


Рис. 3. *Typhlomys stegodontis* sp. nov.: а – голотип ПИН, № 5826/501, правые M^1 – M^2 ; б – экз. ПИН, № 5826/551, левый M^1 ; в – экз. ПИН, № 5826/552, правый M^2 ; г – экз. ПИН, № 5826/502, правый M^1 ; д – экз. ПИН, № 5826/503, левый M^1 ; е – экз. ПИН, № 5826/553, левый M^1 ; ж – экз. ПИН, № 5826/554, правый M^3 ; Вьетнам, провинция Лангшон, пещера Там-Хай; средний плейстоцен.

Судя по частично сохранившимся на голотипе альвеолам, M^3 по длине существенно уступает M^2 (рис. 2).

На M^1 диагональные средние гребни (передний дополнительный гребень, металофид и мезолофид) и соответствующие долинки (мезофоссетид и эктофоссетид) ориентированы под углом около 35° – 55° к продольной оси зуба, задний дополнительный гребень (гиполофид) и гипофоссетид – субпоперечные (около 70° – 85°). M^1 удлиненный, узкий в передней части. Антеролофид плавно изогнут вперед. Передний дополнительный гребень отчетливый, диагонально ориентированный (сильно скошен постеролингвально), соединяется с антеролофидом и эндолофидом и замыкает длинный антерофоссетид (синклинид Ia), иногда разделенный надвое (рис. 3г). Металофид, соединяющий протоконид с метаконидом, является самым длинным из диагональных гребней. Вместе с передним дополнительным гребнем он обрамляет мезофоссетид (синклинид I). При слабом стирании (рис. 3д) дентиновые поля антеролофида и металофида в передней части жевательной поверхности разделены, а их эмалевые стенки соприкасаются, но не сливаются. В сочетании с небольшим углублением стенки зуба в области соединения указанных гребней это свидетельствует о первоначальном наличии узкого и мелкого антеролабиального выхода мезофоссет-

тида. С лингвальной стороны мезофоссетид открыт на ранней стадии стирания (рис. 3д), но замкнут на более поздних (рис. 3г, 3е). Эктофоссетид (синклинид II) открыт лабиально и лингвально либо упирается в эндолофид (рис. 3е). Мезолофид хорошо развит, имеет три варианта строения (морфотипа): (1) полный мезолофид, связывающий мезоконид с эндолофидом (рис. 3г); (2) свободный мезолофид, лингвально ограниченный слитыми долинками эктофоссеттида и гипофоссеттида (рис. 3д; см. сходное строение мезолофида M^1 у позднемiocенового *T. primitivus* [9, табл. II, фиг. 11, 12, рис. 44a] и современного *T. cinereus* [13, рис. 1–7]); (3) укороченный мезолофид, в лингвальной части присоединенный к заднему дополнительному гребню (рис. 3е). Гипофоссетид (синклинид III) открыт лабиально, но замкнут лингвально (или имеет общий выход с эктофоссеттидом, см. рис. 3д). Задний дополнительный гребень (posterior extra ridge) соединяет гипоконид с энтоконидом (рис. 3г, 3д) или мезолофидом (рис. 3е). Постеролофид длинный, субпоперечный, параллельный заднему дополнительному гребню. Постерофоссетид (синклинид IV) широкий, замкнутый (однако при слабом стирании постеролофид и гиполофид лингвально не слиты, см. рис. 3д), в антеролингвальной части иногда связан с эктофоссеттидом (рис. 3е).

M_3 субтреугольный, короткий, сужающийся сзади (рис. 3ж). Антерофоссетид очень маленький, антеролингвальный по положению. Передний дополнительный гребень, металофид, мезолофид и постеролофид широкие, ориентированы диагонально. Мезофоссетид протяженный, замкнутый. Эктофоссетид открыт лабиально, а в своей лингвальной части достигает эндолофида. Гипофоссетид закрытый, касается лингвальной и лабиальной эмалевых стенок зуба. Задний дополнительный гребень и постерофоссетид отсутствуют.

Размеры в мм. Длина M^1 – M^2 : 3.25 (голотип).

Размеры зубов (L – длина, W – ширина, EH – лабиальная высота коронки, IH – лингвальная высота коронки): M^1 : L – 1.8, W – 1.1, EH – 0.55, IH – 0.75 (голотип); L – 1.7, W – 0.95, EH – 0.5, IH – 0.7 (экз. ПИН, № 5826/551); M^2 : L – 1.4, W – 1.1, EH – 0.5, IH – 0.7 (голотип); L – 1.4, W – 0.9, EH – 0.45, IH – 0.6 (экз. ПИН, № 5826/552); M_1 : L – 1.95, W – 1.15, EH – 0.75, IH – 0.75 (экз. ПИН, № 5826/502); L – 1.9, W – 1.1, EH – 0.9, IH – 0.8 (экз. ПИН, № 5826/553); L – 1.8, W – 1.05, EH – 0.8, IH – 0.8 (экз. ПИН, № 5826/503); M_3 : L – 1.0, W – 0.8, EH – 0.3, IH – 0.4 (экз. ПИН, № 5826/554).

С р а в н е н и е . По размерам зубов новый вид существенно мельче позднемиоценового *T. storchi* Qiu et Ni, 2019 и раннеплейстоценового *T. macrourus* Zheng, 1993, меньше позднемиоценового *T. hipparionum* Qiu, 1989, но крупнее *T. primitivus* Qiu, 1989 (поздний миоцен), *T. intermedius* Zheng, 1993, *T. anhuiensis* Jin et al., 2009 (ранний плейстоцен), современных *T. nanus* Cheng et al., 2017, *T. cinereus* Milne-Edwards, 1877, *T. chapensis* Osgood, 1932, *T. daloushanensis* Wang et Li, 1996 и *T. huangshanensis* Hu et Zhang in Hu et al., 2021 (*T. chapensis* из Вьетнама и Южного Китая, остальные виды из Китая). От всех перечисленных видов *T. stegodontis* sp. nov. отличается наличием морфотипа M^1 с раздвоенной парафоссеттой и морфотипа M_1 с лингвальным соединением мезолофида с задним дополнительным гребнем. Кроме того, новый вид отличается от *T. primitivus* относительно более широким в передней части M_1 ; от *T. hipparionum* – относительно менее удлинёнными M_1 и M_3 ; от *T. storchi* – менее вытянутым в длину M_1 с открытыми эктофоссеттидом и гипофоссеттидом; от *T. macrourus* – более низкокоронковыми и менее удлинёнными молярами, относительно более узким в передней части M^1 и наличием антерофоссетты на M^2 ; от *T. intermedius* – лабиально открытыми мезофоссеттой и метафоссеттой M^1 ; от *T. anhuiensis* – сильнее редуцированным M_3 ; от *T. chapensis* – наличием антерофоссетты на M^2 и лабиально закрытым мезофоссеттидом M_1 ; от *T. cinereus* – относительно более узким в передней

части M^1 и наличием антерофоссетты на M^2 ; от *T. daloushanensis* – относительно более узкими M^1 – M^2 и сильнее вытянутым M^2 ; от *T. nanus* – наличием антерофоссетты на M^2 и постерофоссеттида на M_1 , а также закрытым мезофоссеттидом M_1 ; от *T. huangshanensis* – более узкими M^1 – M^2 и наличием антерофоссетты на M^2 .

З а м е ч а н и я . Большинство ископаемых роющих соней известно преимущественно по изолированным зубам, поэтому сравнение зубных размеров *T. stegodontis* sp. nov. с вымершими видами *Typhlomys* проведено по верхним и нижним молярам соответствующих локусов (данные по [9–16]). В случае современных видов *Typhlomys* сравнимым параметром является длина ряда верхних моляров [см. 6–8]. Сохранность голотипа *T. stegodontis* sp. nov. позволяет провести его сравнение с современными видами по длине M^1 – M^3 . Расстояние от переднего конца коронки M^1 до заднего края сохранившегося фрагмента верхнечелюстной кости, обломанной приблизительно на уровне середины альвеолы заднего лабиального корня M^3 (см. рис. 2), составляет 4.0 мм. С учетом предполагаемых размеров отсутствующего M^3 аппроксимированная длина ряда верхних моляров голотипа *T. stegodontis* sp. nov. достигает приблизительно 4.2–4.3 мм, что превосходит средние значения длины M^1 – M^3 всех современных видов и находится вблизи верхней границы пределов изменчивости этого параметра у самых крупных из них (минимум – среднее – максимум: *T. nanus*: 3.13–3.31–3.49 мм, 3 экз. [7]; *T. cinereus*: 3.2–3.3–3.4 мм, 2 экз. [7]; 3.4–3.46–3.62 мм, 4 экз., самки; 3.39–3.74–3.86 мм, 4 экз., самцы [1]; 3.4–3.6–3.7 мм, 6 экз. [6]; *T. chapensis*: 3.46–3.61–3.85 мм, 21 экз. [7]; 3.55–3.85–4.09 мм, 11 экз., самки; 3.57–3.96–4.14 мм, 4 экз., самцы [1]; 3.9–4.0–4.2 мм, 9 экз. [6]; *T. huangshanensis*: 3.56–3.74–4.05 мм, 9 экз. [8]; *T. daloushanensis*: 3.57–3.81–4.05 мм, 29 экз. [7]; 3.7–3.9–4.2 мм, 49 экз. [6]).

М а т е р и а л . Помимо голотипа, из местонахождения Там-Хай шесть изолированных зубов: M^1 (экз. ПИН, № 5826/551), M^2 (экз. ПИН, № 5826/552), три M_1 (экз. ПИН, №№ 5826/502, 503, 553) и M_3 (экз. ПИН, № 5826/554). Голотип и экз. ПИН, №№ 5826/502, 503 происходят из основного костеносного слоя красно-бурых алевролитов верхней галереи пещеры (21°55′51.7″ с.ш., 106°25′3.6″ в.д.); экз. ПИН, №№ 5826/551–554 – из обособленной северной галереи (21°55′52.5″ с.ш., 106°25′4.1″ в.д.).

Стегодонтовая роющая соня *Typhlomys stegodontis* sp. nov. из пещеры Там-Хай – первая находка ископаемых Platanthomyidae во Вьетнаме. Биохронологически она заполняет среднеплейстоценовый пробел в известной палеонтологической летописи семейства.

Анализ палеонтологических данных позволяет сделать некоторые наблюдения относительно эволюционной истории *Typhlomys*. Уже в позднем миоцене этот род был представлен тремя филогенетическими ветвями, к одной из которых принадлежит мелкий *T. primitivus*, ко второй — более крупный *T. hipparionum*, а к третьей — уклоняющийся по строению M_1 и относительно очень крупный *T. storchi* [9, 10]. В раннем плейстоцене первая линия включала *T. intermedius* и *T. anhuiensis* [12–16], и именно с этой группой видов связывается среднеплейстоценовый *T. stegodontis* sp. nov., а также рецентный *T. cinereus* и все прочие современные виды, недавно выделенные из его состава при поддержке молекулярно-генетических данных [см. 1, 7, 8]. Вторая линия оборвалась в раннем плейстоцене на стадии *T. macrourus*, обладавшего относительно высокими коронками моляров [13]. Третья ветвь, видимо, не имела потомков. Следует отметить, что симпатрические ископаемые виды (*T. primitivus*, *T. hipparionum* и *T. storchi* в позднем миоцене, *T. intermedius* и *T. macrourus* в раннем плейстоцене) существенно отличались друг от друга по величине.

С учетом новых данных о современном разнообразии *Typhlomys* [1, 7, 8] видовая принадлежность сравнительно крупного представителя этого рода из раннеплейстоценового пещерного местонахождения Лунгудун (Longgudong) в провинции Хубэй Китая, отнесенного к ныне живущему виду *T. cinereus* [14, рис. 5.27, А–F], подлежит пересмотру. Указанная раннеплейстоценовая форма отличается от *T. cinereus* более крупными размерами зубов [14, табл. 5.35], относительно более узким в передней части M^1 и наличием антерофоссетты на M^2 . Этими признаками, а также общим строением M_1 и M_3 , данная форма сближается с *T. stegodontis* sp. nov.; при этом она отличается от нового вида строением мезофоссетты M^2 , закрытой лабиально, но открытой лингвально (у стегодонтовой роющей сони мезофоссетта M^2 , напротив, открыта лабиально и закрыта лингвально). Вывод о видовой принадлежности раннеплейстоценовой хубэйской формы может быть сделан по итогам специального изучения морфотипической изменчивости массовых зубных остатков из пещеры Лунгудун [см. 14]; пока ее следует рассматривать как *Typhlomys* sp.

В верхнем плейстоцене идентифицирован только *Typhlomys cinereus* из Южного Китая [17]. При этом в настоящее время считается, что современное довольно высокое видовое разнообразие роющих сонь (не менее пяти аллопатрических видов) на территории юго-восточного Китая и северного Вьетнама является результатом таксономической диверсификации в условиях изолированных горных областей [1, 6]. Открытие *T. stegodontis* sp. nov. в плейстоцене северного Вьетнама и

современное видовое разнообразие рода позволяют предполагать существование нескольких средне- и позднеплейстоценовых видовых линий *Typhlomys*. Современный ареал *T. chapensis* (горы Хоангльеншон на юге Китая и северо-западе Вьетнама) и среднеплейстоценовая область обитания *T. stegodontis* sp. nov. (северо-восточный Вьетнам) разделены долиной Красной реки (Хонгха), которая в плейстоцене могла быть одной из главных преград для распространения мелких млекопитающих в данном регионе.

БЛАГОДАРНОСТИ

Автор благодарен Е.Н. Машенко, Н.В. Волковой, А.В. Подлеснову, Б.И. Морковину (ПИН) и Ле Суан Даку (Le Xuan Das, Институт тропической экологии Совместного Российско-Вьетнамского тропического научно-исследовательского и технологического центра, Ханой, Вьетнам) за участие в сборах материалов в 2021 г., А.Н. Кузнецову и С.П. Кузнецовой (Тропический центр) — за помощь в организации экспедиции, Р.А. Ракизову (ПИН) — за помощь в подготовке фотографий на СЭМ.

ИСТОЧНИК ФИНАНСИРОВАНИЯ

Исследование выполнено в рамках работ Совместного Российско-Вьетнамского Тропического научно-исследовательского и технологического центра (проект “Состав фауны приматов (Cercopithecidae, Pongidae) и грызунов (Rodentia) плейстоцена и голоцена Вьетнама как индикатор изменения экологических условий”).

СПИСОК ЛИТЕРАТУРЫ

1. Abramov A.V., Balakirev A.E., Rozhnov V.V. An enigmatic pygmy dormouse: molecular and morphological evidence for the species taxonomic status of *Typhlomys chapensis* (Rodentia: Platacanthomyidae) // Zoological Studies. 2014. V. 53. Art. № 34. P. 1–9.
2. Panyutina A.A., Kuznetsov A.N., Volodin I.A., et al. A blind climber: the first evidence of ultrasonic echolocation in arboreal mammals // Integrative Zoology. 2017. V. 12. № 2. P. 172–184.
3. Osgood W.H. Mammals of the Kelley-Roosevelts and Delacour Asiatic expeditions // Field Museum of Natural History. Zoological Series. 1932. V. 18. № 10. P. 193–339.
4. Кузнецов Г.В. Млекопитающие Вьетнама. М.: Т-во научных изданий КМК, 2006.
5. Wu D., Wang G. A new subspecies of *Typhlomys cinereus* Milne-Edwards from Yunnan, China // Acta Theriologica Sinica. 1984. V. 4. № 3. P. 213–215.
6. Wang Y., Li C., Chen Z. Taxonomy, distribution and differentiation on *Typhlomys cinereus* (Platacanthomyidae, Mammalia) // Acta Theriologica Sinica. 1996. V. 16. № 1. С. 54–66.

7. Cheng F., He K., Chen Z.-Z., et al. Phylogeny and systematic revision of the genus *Typhlomys* (Rodentia, Platacanthomyidae), with description of a new species // Journal of Mammalogy. 2017. V. 98. № 3. P. 731–743.
8. Hu T.-L., Cheng F., Xu Z., et al. Molecular and morphological evidence for a new species of the genus *Typhlomys* (Rodentia: Platacanthomyidae) // Zoological Research. 2021. V. 42. № 1. P. 100–107.
9. Qiu Z. Fossil platacanthomyids from the hominoid locality of Lufeng, Yunnan // Vertebrata Palasiatica. 1989. V. 27. № 4. P. 268–283.
10. Qiu Z., Ni X. Platacanthomyids (Rodentia, Mammalia) from the Late Miocene Yuanmou hominoid locality of Yunnan, China // Fossil Imprint. 2019. V. 75. № 3–4. P. 383–396.
11. Qiu Z.D., Jin C.Z. Platacanthomyid remains from the late Cenozoic deposits of East China // Vertebrata Palasiatica. 2017. V. 55. № 4. P. 315–330.
12. Zheng S. Quaternary rodents of Sichuan-Guizhou area, China. Beijing: Science Press; 1993.
13. Fejfar O., Kalthoff D.C. Aberrant cricetids (platacanthomyines, Rodentia, Mammalia) from the Miocene of Eurasia // Berliner geowissenschaftliche Abhandlungen. Ser. E. 1999. V. 30. P. 191–206.
14. Zheng S. Rodentia. In: Zheng S., ed. Jianshi hominid site. Beijing: Science Press; 2004. pp. 121–181, 387–394.
15. Jin C.Z., Zhang Y.Q., Wei G.B., et al. Rodentia Bowdich, 1821. In: Jin C., Liu J., eds. Paleolithic site – the Renzidong Cave, Fanchang, Anhui Province. Beijing: Science Press; 2009. P. 166–220, 401–412.
16. Wang Y., Jin C., Mead J.I. New remains of *Sinomastodon yangziensis* (Proboscidea, Gomphotheriidae) from Sanhe karst Cave, with discussion on the evolution of Pleistocene *Sinomastodon* in South China // Quaternary International. 2014. V. 339–340. P. 90–96.
17. Wei G., Huang W., Boëda E., et al. Recent discovery of a unique Paleolithic industry from the Yumidong Cave site in the Three Gorges region of Yangtze River, southwest China // Quaternary International. 2017. V. 434. Pt A. P. 107–120.
18. Olsen J.W., Ciochon R.L. A review of evidence for postulated Middle Pleistocene occupations in Viet Nam // Journal of Human Evolution. 1990. V. 19. P. 761–788.
19. Ciochon R., Vu The Long, Larick R., et al. Dated co-occurrence of *Homo erectus* and *Gigantopithecus* from Tham Khuyen Cave, Vietnam // Proceedings of the National Academy of Sciences. 1996. V. 93. № 7. P. 3016–3020.
20. Zeitoun V., Chinnawut W., Debryne R., et al. A sustainable review of the Middle Pleistocene benchmark sites including the *Ailuropoda*–*Stegodon* faunal complex: the Proboscidean point of view // Quaternary International. 2016. V. 416. P. 12–26.

A NEW SPECIES OF *TYPHLOMYS* (PLATACANTHOMYIDAE, RODENTIA) FROM THE MIDDLE PLEISTOCENE OF NORTHERN VIETNAM

Academician of the RAS A. V. Lopatin[#]

Borissiak Paleontological Institute, Russian Academy of Sciences, Moscow, Russian Federation

[#]*e-mail: alop@paleo.ru*

A pygmy dormouse *Typhlomys stegodontis* sp. nov. is described on the base of the maxillary fragment and isolated teeth from the Middle Pleistocene Tham Hai cave locality in northern Vietnam (Lang Son Province). This first finding of the fossil Platacanthomyidae in Vietnam fills the Middle Pleistocene gap in the paleontological record of the family.

Keywords: *Typhlomys*, pygmy dormouse, Platacanthomyidae, Myomorpha, Rodentia, Middle Pleistocene, Vietnam, Lang Son